

Journal of Natural Environmental Hazards, Vol.11, Issue 33, Autumn 2022

## Determining the slip rate of Rafsanjan fault using the age of the samples taken from that fault and comparing the results of the two software analysts and R

**Latif Seyed Mohammadi Emam<sup>1</sup>, Nasrin Karimi Moaed<sup>2</sup>, Morteza Fattahi<sup>3\*</sup>, Hamide Amini<sup>4</sup>**

1. Master of Geophysics, Institute of Geophysics, University of Tehran, Tehran, Iran

2. PhD Student of Seismology, Institute of Geophysics, University of Tehran, Tehran, Iran

3. Corresponding Author, Associate Professor of Seismology, Institute of Geophysics, University of Tehran, Tehran, Iran

4. Assistant Professor of Seismology, Institute of Geophysics, University of Tehran, Tehran, Iran

---

### Article Info

### ABSTRACT

**Article type:**

Research Article

**Article history:**

Received: 04 January 2021

Revised: 09 August 2022

Accepted: 24 August 2022

**Keywords:**

Luminescence dating, Slip rate, Analyst Software, R Software.

Fault slip rate is the amount of displacement of one wall relative to another fault wall over a period of time. The duration of this shift can be measured using the luminescence dating method. To determine the age by luminescence dating method, two dose parameters equivalent to normal dose and annual dose are needed. By dividing the dose equivalent to the natural dose by the annual dose rate, the age value is determined per structural unit. To determine the dose equivalent to the normal dose, a protocol for measuring luminescence signals (data) and a program for analyzing the data are required. Data analysis was performed using R software. Because the usual international program to do this is analytics software. Data were also analyzed with analyst software. The results of these two softwares and their effect in determining the slip rate of Rafsanjan fault were compared. The amount of displacement measured on the Rafsanjan fault is  $48 \pm 4$  meters. The age was estimated to be 97-118 thousand years using R software and 101-129 thousand years by analyst software. Slip rates were obtained by R software and analysts, 0.41 to 0.53 and 0.36 to 0.48 mm / year, respectively. Slip rates were obtained by R software and analysts, 0.41 to 0.53 and 0.36 to 0.48 mm / year, respectively.

---

**Cite this article:** Seyed Mohammadi Emam, L., Karimi moayed, N., Fattahi, M., & Amini, H. (2022). Determining the slip rate of Rafsanjan fault using the age of the samples taken from that fault and comparing the results of the two software analysts and R. Journal of Natural Environmental Hazards, 11(33), 101-120.

DOI: 10.22111/jneh.2022.37020.1748



© Morteza Fattahi

Publisher: University of Sistan and Baluchestan

DOI: 10.22111/jneh.2022.37020.1748

---

\* Corresponding Author Email: mfattahi@ut.ac.ir

مجله علمی پژوهشی مخاطرات محیط طبیعی، دوره یازدهم، شماره ۳۳، پاییز ۱۴۰۱

## تعیین نرخ لغزش گسل رفستجان با استفاده از سن نمونه‌های برداشت شده و مقایسه نتایج حاصل از دو نرم افزار آنالیست و آر

لطیف سید محمدی امام<sup>۱</sup>، نسرین کریمی موید<sup>۲</sup>، مرتضی فتاحی<sup>۳\*</sup>، حمیده امینی<sup>۴</sup>

۱. دانش آموخته مقطع کارشناسی ارشد، گروه زلزله شناسی، موسسه ژئوفیزیک، دانشگاه تهران
۲. دانشجوی مقطع دکتری، گروه زلزله شناسی، موسسه ژئوفیزیک، دانشگاه تهران
۳. دانشیار، گروه زلزله شناسی، موسسه ژئوفیزیک، دانشگاه تهران (نویسنده مسئول)
۴. استادیار، گروه زلزله شناسی، موسسه ژئوفیزیک، دانشگاه تهران

### اطلاعات مقاله چکیده

نوع مقاله: مقاله پژوهشی	نرخ لغزش گسل میزان جابجایی یک دیواره نسبت به دیواره دیگر گسل در مدت زمانی مشخص است. مدت زمان این جابجایی را می-توان با استفاده از روش سن-یابی لومینسانس اندازه‌گیری کرد. برای تعیین سن به روش سن-یابی لومینسانس به دو پارامتر دز معادل دز طبیعی و دز سالانه نیاز است. با تقسیم دز معادل دز طبیعی به نرخ دز سالانه، سن واحد ساختاری مشخص می‌شود. برای تعیین دز معادل دز طبیعی، نیاز به پروتکلی برای اندازه گیری سیگنال‌های لومینسانس (داده‌ها) و برنامه‌ای برای آنالیزداده‌ها است. آنالیزداده‌ها با بهره‌گیری از نرم‌افزار آر انجام شد. از آنجا که برنامه رایج بین‌المللی جهت انجام این نرم‌افزار آنالیست است، داده‌ها با این نرم افزار نیز تحلیل گردید. نتایج حاصل از این دو نرم افزار و مهم، نرم‌افزار آنالیست است. داده‌ها با این نرم افزار نیز تحلیل گردید. نتایج حاصل از این دو نرم افزار و تاثیر آن در تعیین نرخ لغزش گسل رفستجان مقایسه شد. مقدار جابجایی اندازه‌گیری شده بر روی گسل رفستجان $48 \pm 4$ متر می‌باشد. سن بدست آمده با استفاده از نرم‌افزار آر، $118 \pm 97$ هزار سال و توسط نرم‌افزار آنالیست $101 - 129$ هزار سال برآورد شد. نرخ لغزش توسط نرم‌افزار آر و آنالیست به ترتیب، $41 \pm 4$ و $48 \pm 4$ میلیمتر بر سال بدست آمد. لذا تقریباً نتایج یکسانی برای نرخ لغزش گسل رفستجان با استفاده از این دو نرم‌افزار بدست آمد. اما کیفیت گرافیکی و تحلیل آماری نرم‌افزار آر اطلاعات کامل‌تری نسبت به آنالیست ارائه داد.	تاریخ دریافت: ۱۳۹۹/۱۰/۱۵
تاریخ ویرایش: ۱۴۰۱/۰۵/۱۸	سن-یابی به روش لومینسانس، نرخ لغزش، نرم‌افزار آنالیست، نرم‌افزار آر.	
تاریخ پذیرش: ۱۴۰۱/۰۶/۰۲	واژه‌های کلیدی: آنالیست، آر، نرم‌افزار آنالیست، نرم‌افزار آر.	

استناد: سید محمدی امام، لطیف، کریمی موید، نسرین، فتاحی، مرتضی، & امینی، حمیده. (۱۴۰۱). تعیین نرخ لغزش گسل رفستجان با استفاده از سن نمونه‌های برداشت شده و مقایسه نتایج حاصل از دو نرم افزار آنالیست و آر. مخاطرات محیط طبیعی, ۱۱(۳۳)، ۱۲۰-۱۰۱.

DOI: 10.22111/jneh.2022.37020.1748



© لطیف سید محمدی امام، نسرین کریمی موید، مرتضی فتاحی، حمیده امینی.

ناشر: دانشگاه سیستان و بلوچستان

## مقدمه

گسل رفسنجان با طولی برابر با ۲۰۰ کیلومتر در ناحیه شرقی شهرستان رفسنجان و در منطقه‌ای با تراکم جمعیتی بالا و در نزدیکی شهرهای بزرگ (کرمان، رفسنجان، بردسیر، سیرجان) قرار دارد. بنابراین، مطالعه این گسل و تعیین میزان نرخ‌لغزش سالانه آن جهت تحلیل خطر زمین‌لرزه آینده اهمیت پیدا می‌کند (واکر، ۲۰۰۶)<sup>۱</sup>. نرخ‌لغزش<sup>۲</sup> گسل پارامتری است که نشان‌دهنده تغییرات سالانه در سرعت حرکت یک دیواره گسل نسبت به دیواره دیگر آن است و با توجه به مقدار آن، امکان برآورد توان رخداد زمین‌لرزه‌هایی با بزرگاهای وابسته به آستانه‌های مختلف در زمان‌های مختلف در آن گسل، وجود خواهد داشت.

برآورد میزان متوسط نرخ‌لغزش گسل به دو روش کلی، روش‌های ژئودتیک و روش‌های زمین‌شناسی میسر است. روش‌های ژئودتیک خود به دو طریق، سیستم موقعیت یاب جهانی<sup>۳</sup> و سیستم تداخل سنج رادار دریچه مصنوعی<sup>۴</sup> و روش‌های زمین‌شناسی نیز به دو طریق، دوران طولانی مدت زمین‌شناسی، توسط سن‌یابی نسبی و دوران متوسط، توسط سن‌یابی مطلق می‌توانند صورت بگیرند. نرخ‌لغزش اندازه‌گیری شده توسط سیستم موقعیت یاب جهانی و سیستم تداخل سنج رادار دریچه مصنوعی با استفاده از اطلاعات دوره زمانی کوتاه مدت برآورد می‌شود و این سیستم همزمان دو مولفه نرخ‌لغزش، میزان جابجایی و زمان جابجایی، را اندازه می‌گیرد (ورنانت و همکاران، ۲۰۰۴؛ گومز و همکاران، ۲۰۰۷). زمین‌شناسان برای تعیین سن طولانی مدت ساختارهای زمین‌شناسی اصولی پایه‌ریزی کرده‌اند (به عنوان نمونه چینه‌شناسی لایه‌های رسوبی) که با استفاده از آنها، سن واحدهای زمین‌شناسی به صورت نسبی ارائه می‌شوند (پپ و دینو، ۲۰۱۳). با تعیین میزان جابجایی در یک ساختار زمین‌شناسی، نرخ‌لغزش نسبی طولانی مدت محاسبه می‌شود. روش متوسط و کوتاه مدت تعیین نرخ‌لغزش نیز به روش سن‌یابی مطلق بدست می‌آید. در گذشته با استفاده از روش سن‌یابی لومینسانس نوری که یک روش مطلق سن‌یابی است نرخ‌لغزش برخی گسل‌های ایران با موفقیت بدست آمده است. به عنوان مثال می‌توان گسل درونه (فتاحی و همکاران، ۲۰۱۱؛ امینی و ۲۰۱۱؛ امینی و همکاران، ۲۰۱۶؛ گسل سبزوار (فتاحی و همکاران، ۲۰۰۶؛ گسل نیشابور (فتاحی و همکاران، ۱۳۹۰؛ گسل شمال نیشابور (فتاحی و همکاران، ۱۳۹۰؛ گسل انار (ای درتز و همکاران، ۲۰۰۹؛ فروتن و همکاران، ۲۰۱۱؛ گسل دهشیز (فتاحی و همکاران، ۲۰۰۷؛ نظری و همکاران، ۲۰۰۹؛ گسل پردیسان (طالبیان و همکاران، ۲۰۱۶؛ گسل دشت بیاز (فتاحی و همکاران، ۲۰۱۱؛ فتاحی و همکاران، ۲۰۱۵؛ فتاحی و همکاران، ۲۰۱۹؛ گسل گوک (واکر و همکاران، ۲۰۱۰؛ فتاحی و همکاران، ۲۰۱۴؛ فتاحی و همکاران، ۱۳۹۲؛ گسل دهشیز (فتاحی و همکاران، ۲۰۰۷؛ فروتن و همکاران، ۲۰۱۲)؛ گسل مشاء (قاسمی و همکاران، ۲۰۱۴؛ گسل طبس (واکر و همکاران، ۲۰۱۵) را نام برد. در این مطالعه نیز، از روش تعیین سن لومینسانس نوری برای تعیین سن رسوبات برداشت‌شده از گسل رفسنجان و برآورد نرخ‌لغزش آن استفاده می‌شود. نرخ‌لغزش گسل رفسنجان در مطالعات گذشته با استفاده از نرم‌افزار آنالیست، و فلدسپار اندازه‌گیری شده است (فتاحی و همکاران، ۲۰۱۱)، در این بررسی نرخ‌لغزش این گسل با استفاده از نرم‌افزار آر و کوارتز و فلدسپار برآورد می‌شود. نرم‌افزار R (آر)، نرم‌افزاری است که به دلیل ویژگی آماری و

<sup>1</sup> Walker, 2006

<sup>2</sup> slip rate

<sup>3</sup> Global Position System

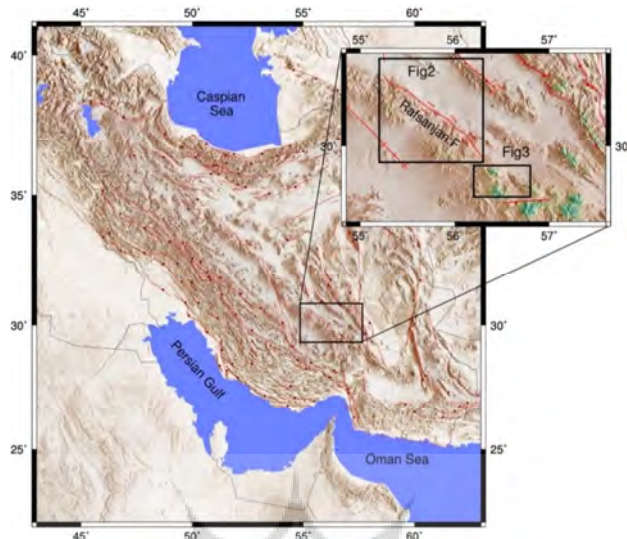
<sup>4</sup> InSAR: Interferometric Synthetic Aperture Radar

نتایج گرافیکی با کیفیت زیاد آن، کاربرد آن به سرعت در رشته های مختلف از جمله ژنتیک، کشاورزی، زیست-شناسی، مدیریت و ... در حال گسترش است. در علم دیرینه زرله شناسی نیز به دلیل قابلیت خوب این نرم افزار چه از لحاظ آماری و چه از لحاظ نتایج گرافیکی آن، می توان برای سن یابی رسوبات به مانند نرم افزار آنالیست از آن استفاده کرد. تیم آر لومینسانس مشکل از داشمندانی است که بر روی پکیجی با نام آر لومینسانس کار می کنند و با کدنویسی در نرم افزار آر به دنبال جایگزین مناسبی برای نرم افزار آنالیست هستند. با استفاده از این نرم افزار مطالعاتی انجام شده است که می توان به تحقیقات انجام شده توسط کروتزر و همکاران (۲۰۱۲)، دیتز و همکاران (۲۰۱۳)، بارو و همکاران (۲۰۱۵)، فدریک و همکاران (۲۰۱۶) و کروتزر و همکاران (۲۰۱۸) اشاره کرد. مقایسه نتایج حاصل از تخمین نرخ لغزش با استفاده از آر و آنالیست برای گسل رفسنجان و همچنین مزایا و معایب هر کدام از دو نرم افزار بحث کلی و اصلی این پژوهش را تشکیل می دهد.

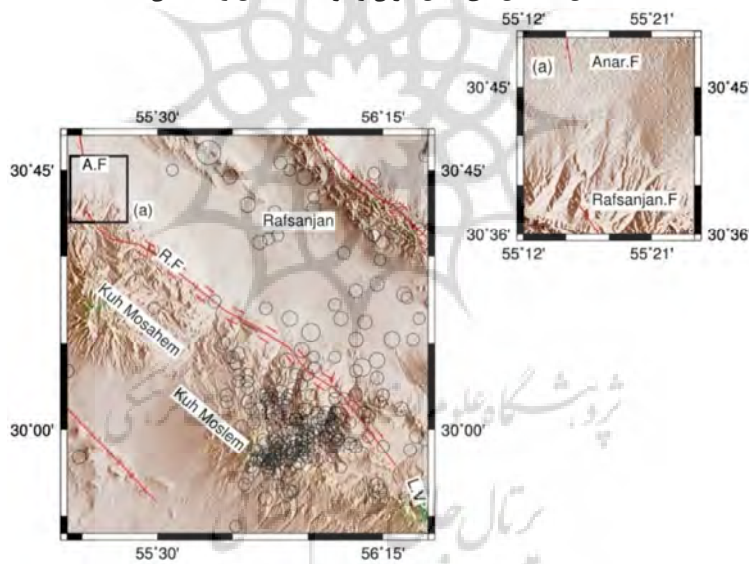
## داده ها و روش ها

### گسل رفسنجان و وضعیت لرزه خیزی منطقه:

گسل رفسنجان اولین بار توسط بربریان (۱۹۷۶) معرفی شد، او راستای گسله را شمال باختری-جنوب خاوری تعیین کرده است (شکل ۱). شب این گسل به سمت جنوب باختراست. بربریان (۱۹۷۶)، طول این گسل را ۱۲۰ کیلومتر تعیین کرد که از انتهای جنوب شرقی دامنه کوه مزاحم شروع شده و ادامه آن از کوه مامسر و همچنین روستای باغ بزم عبور می کند و در قسمت شمال باختری توسط کوه مزاحم به گسل راستالغز راستبر انار می پیوندد و در قسمت جنوب باختری تا ابتدای دره لاله زار ادامه می یابد (شکل ۲). به عقیده بربریان، گسله رفسنجان یک گسله پی سنگی است که در بخشی از پهنه وسیع تر دگر شکلی کواترنری پسین واقع شده است که به نظر می رسد گسل راستالغز راستبر سیزواران (جیرفت) را به سامانه گسله های راستالغز در مرکز ایران پیوند می دهد (شیخ الاسلامی و همکاران، ۱۳۹۲).



شکل ۱: گسل‌های فعال ایران و موقعیت گسل رفسنجان

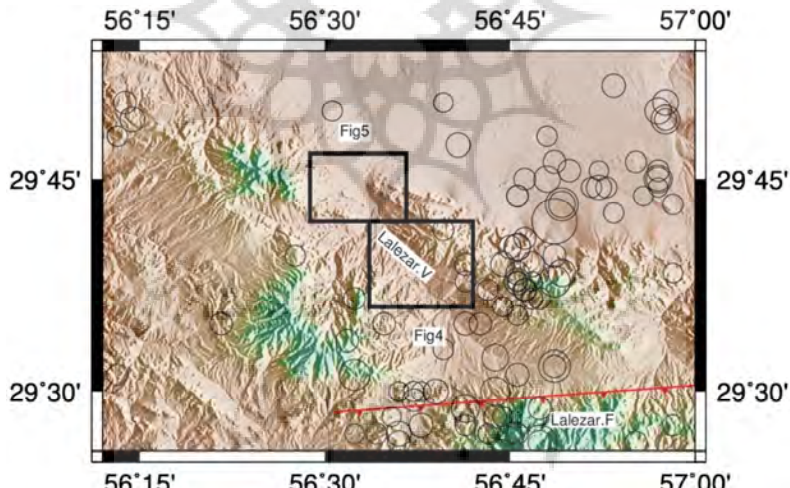


شکل ۲: نمایی از گسل رفسنجان همراه با زمین لرزه‌های رخداده در اطراف آن از سال ۲۰۰۶ تا ۲۰۱۹ میلادی (استخراج شده از سایت لرزه نگاری ایران). در قسمت انتهای شمال باختری گسل رفسنجان توسط کوههای کوه مسلم به گسل انار (A.F) می‌رسد و در قسمت انتهای جنوب خاوری به دره لاله زار (L.V) میرسد.

بزرگ‌ترین زمین لرزه تاریخی ثبت شده در منطقه رفسنجان مربوط به ۲۲ سپتامبر ۱۹۲۳ است، که طی این رخداد روستاهای زیادی تخریب شدند. طبق گزارش ارائه شده توسط آمبرسیز و ملویل (۱۹۸۲)، پس لرزه‌ای بزرگ نیز هفت ساعت بعد از زمین لرزه اصلی خرابی‌های بسیار زیادی را به وجود آورد و نزدیک به ۲۰۰ نفر کشته برای این زمین لرزه گزارش شده است. موقعیت رومرکز زمین لرزه در داخل دره لاله زار (رودخانه آبه لاله زار - روستای چمن رنگ (شکل ۳)) مشخص شده است (شکل ۴). در این زمین لرزه روستاهای لاله زار، گوهر، خطیب، قلعه عسکر نابود و تخریب

شدند. تخریب تا شمال، تا روستاهای باغ بزم و گوک احمر گسترش داشته است. کمترین آسیب به رفسنجان و رایان و کرمان رسید. گزارش تخریب بدین صورت بود که نواحی عمود بر گسل بیشترین تخریب بوجود آمده و در راستای گسل کمترین تخریب را داشته‌ایم (فتاحی و همکاران، ۲۰۱۱).

میزان شکستگی مشاهده شده در سطح زمین در روستای باغ بزم (این شکستگی در امتداد گسل رفسنجان بوده و به نظر بربیان (۱۹۷۶)، شکستگی موردنظر جزئی از گسل رفسنجان نیست) و روموزک تعیین شده برای زمین‌لرزه ۱۹۲۳ (روستای چمن رنگ- داخل دره لاله‌زار) نظر فتاحی و همکاران (۲۰۱۱) را به این مهم جلب کرد که آیا شکستگی موردنظر ارتباطی با گسل رفسنجان دارد؟ (شکل ۳). آنها با فرض اینکه این شکستگی مرتبط با این زمین‌لرزه است، از رابطه میانگین جابجایی در سطح و ممان مغناطیسی برای گسل‌های راستالغز استفاده کرده و بزرگای ۷/۵ را برای این زمین‌لرزه به دست آورده‌اند. همچنین از این روابط برای برآورد طول گسیختگی نیز استفاده کردند. بدین شکل که اگر بزرگای زلزله بین ۷/۵ تا ۷/۲ باشد طول گسیختگی ۶۵ تا ۱۲۵ کیلومتر خواهد بود و این نکته می‌تواند تعیین‌کننده این مهم باشد که دره لاله‌زار جزئی از گسل رفسنجان است، بر همین اساس واکر (۲۰۰۶) طول این گسل را ۲۰۰ کیلومتر برآورد کرد (فتاحی و همکاران، ۲۰۱۱).



شکل ۳: موقعیت دره لاله‌زار و زمین‌لرزه‌های ثبت شده از ۲۰۰۶ تا ۲۰۱۹ توسط مرکز لرزه‌نگاری ایران

از نظر اطلاعات لرزه‌خیزی گسل رفسنجان به شدت با کمبود داده مواجه است. اما برش و جابجایی بر روی رسوبات کواترنری نشان از جنبه بودن گسل دارد و این خود علامت و هشدار خطری برای ساکنان حاشیه بلوك لوت، به دلیل دوره بازگشت طولانی زمین‌لرزه‌ها است (واکر، ۲۰۰۶؛ فتاحی و همکاران، ۲۰۱۱).

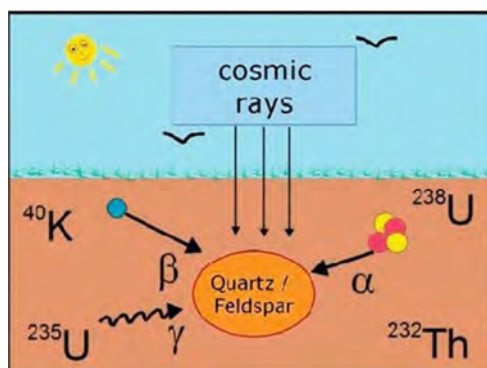
فتاحی و همکاران (۲۰۱۱) بر روی گسل رفسنجان جابجایی‌هایی را مشخص کردند. از جمله این موارد، در انتهای شرقی گسل رفسنجان، جایی که گسل به دره لاله‌زار وارد می‌شود، دو روند موازی گسل NW-SE بر روی دو

مخروطافکنه یکی جدید و آن یکی قدیمی‌تر دیده می‌شود. میزان کل جابجایی اندازه‌گیری شده برابر ۴۸ متر با عدم-قطعیت ۴ متر به دست آمده است.

#### اصول سن یابی به روش لومینسانس نوری:

رسوبات دوره‌های متفاوت زمین‌شناسی، طی گذر زمان روی هم انباشته شده و مواد پرتووزای موجود در رسوبات، با گذشت زمان دچار واپاشی می‌شوند (شکل ۷). تابش پرتوهای  $\alpha$  و  $\beta$  و  $\gamma$  حاصل از واپاشی مواد پرتووزایی مانند Th232، K40، U238 و پرتوهای کیهانی، اتم‌ها را درون دانه‌های معدنی سیلیکاتی مانند کوارتز و فلدسپار (که در داخل رسوبات مدفون هستند) یونیزه می‌کنند. دانه‌های کوارتز و فلدسپار پتانسیل خوبی برای ذخیره‌سازی انرژی تابشی حاصل از واپاشی مواد پرتوزا دارند و از این رو، به عنوان دوزی متر (عناصر تعیین دوز جذبی) مورد استفاده قرار می‌گیرند (فتاحی و همکاران، ۱۳۹۰). در اثر یونش ناشی از تابش مواد پرتوزا، در کوارتز و فلدسپار، الکترون‌هایی که در باند ظرفیت قرار دارند، از اتم‌ها جدا شده، به باند هدایت می‌روند و در باند ظرفیت حفره‌ای (حفره: فضای خالی ایجاد شده در اتم طی خروج الکترون) ایجاد می‌شود؛ لیکن در باند هدایت، در حالت پایدار قرار ندارد و از این رو به تراز پایین‌تر انرژی سقوط می‌کنند و به تله می‌افتد. با گذر زمان یونش اتم‌ها ادامه می‌یابد و به تعداد الکترون‌های داخل تله افزوده می‌شود. زمانی که رسوبات طی یک حادثه طبیعی همانند زلزله، سیل و آتش‌شان در معرض نور قرار می‌گیرند، سیگنال لومینسانس موجود در آنها به طور کامل یا ناقص تحت تأثیر نور از بین می‌رود و ساعت لومینسانس صفر می‌شود. به عبارتی دیگر، نور باعث تحریک الکترون‌های به تله افتاده می‌شود و به آنها انرژی کافی برای رهایی داده می‌شود، الکترون‌ها از تراز انرژی به باند هدایت انتقال می‌یابند؛ اما الکترون‌ها و حفره‌ها در حالت پایدار نیستند و در ساده‌ترین فرضیه الکترون‌ها با حفره‌ها ترکیب مجدد می‌شوند و اختلاف انرژی به صورت فوتون تابیده می‌شود. و از زمانی که دوباره رسوب در داخل زمین دفن می‌شود و دیگر نوری به آن نمی‌رسد ذخیره-سازی سیگنال‌های لومینسانس (طی واپاشی مواد پرتوزا موجود در رسوبات) در آنها مجددآ شروع می‌شود و ساعت لومینسانس دوباره فعال می‌شود. سپس رسوبات موردنظر که طی یک حادثه طبیعی سیگنال آنها خالی شده و سپس دفن شده‌اند به آزمایشگاه منتقل می‌شوند. در آزمایشگاه رسوبات تحت تابش نور قرار می‌گیرند و سیگنال آنها که ناشی از الکترون‌های ذخیره شده در تله‌ها است اندازه‌گیری می‌شود. نور حاصل لومینسانس نام دارد و به دلیل برانگیختگی توسط نور، آن را لومینسانس تحریک شده با نور<sup>۱</sup> می‌گویند. بنابراین، با اندازه‌گیری لومینسانس طبیعی می‌توان زمان آخرین نورخوردگی دانه‌های فلدسپار و کوارتز رسوبات ماده معدنی را تعیین کرد (حیدری و فتاحی، ۱۳۹۵).

<sup>۱</sup> Optically Luminescence Dating



شکل ۴: تجمع سیگنال در دانه های کوارتز و فلدسپار (لیریتس و همکاران ۲۰۱۳)

بنابراین، هرگاه دانه های کوارتز و فلدسپار رسوبات، پس از خالص سازی تحریک شوند، میزان انرژی آزاد شده از آن-ها می تواند مدت زمان دفن آنها در داخل زمین را نشان دهد. شدت سیگنال لومینسانس طبیعی (N)، با انرژی تابشی جذب شده پس از دفن شدگی متناسب است؛ مقدار انرژی جذب شده (دُز طبیعی<sup>۱</sup>) با واحد گری<sup>۲</sup> (kg/J=1Gy) می شود. با استفاده از بیان می شود. برای اندازه گیری دُز طبیعی در آزمایشگاه، منحنی استاندارد تهیه می شود. دُز معادل دُز طبیعی<sup>۳</sup> (De) نمونه های لومینسانس با آنالیز در برنامه های نرم افزاری، بدست می آید. سن آخرین صفرشدنگی سیگنال لومینسانس به روش زیر قابل محاسبه است:

$$\text{سن نمونه} = \frac{\text{دُز معادل دُز طبیعی که نمونه در زمان دفن بودن دریافت نموده است}}{\text{دُز سالانه؛ میزان رادیواکتیوی که نمونه از محیط ظرف یک سال دریافت نموده است}}$$

بنابراین در سن یابی به روش لومینسانس ضروری است دُز معادل دُز طبیعی و دُز سالانه<sup>۴</sup> محاسبه شود (آیتكن، ۱۹۷۰).

### نمونه برداری:

مواد مخروط افکنه منطقه عمده ای از سنگ های آذرین و آتشفسانی تشکیل شده است، که از ناحیه جنوبی کوه مامسر مشتق شده است. در شکل ۵ نقاط نمونه برداری شده، مشخص شده اند (نقاط A,B). نمونه ها از دو نقطه با ویژگی های مشابه بر روی مخروط افکنه مورد نظر توسط فتاحی و همکاران برداشت شده اند. از هر نقطه دو نمونه توسط لوله آهنی برداشت و در نهایت با کاغذ آلومینیوم، انتهای آنها پر شده و هر کدام در داخل پلاستیک های سیاه ضد نور پیچانده می شوند.

<sup>1</sup> Natural Dose

<sup>2</sup> Gray

<sup>3</sup> Equivalent Dose

<sup>4</sup> Dose Rate



شکل ۵: موقعیت جغرافیایی چاه های نمونه برداری (A(29:45:41.1 N 56:31:29.9E) و B(29:43:58.8 N 56:32:57.8E) به ترتیب در عمق های ۸۵ و ۵۵ سانتی متر و بر روی چاه B دو نمونه RB1 و RB2 به ترتیب از عمق های ۶۰ و ۹۰ برداشت شده است.

#### عملیات آزمایشگاهی:

در آزمایشگاه موسسه ژئوفیزیک، رسوبات دو سر لوله که احتمالاً نور خورده است جهت تعیین میزان رطوبت نمونه و دز سالانه از داخل لوله استخراج شده و رسوبات موجود در میانه لوله برای تعیین دز معادل دز طبیعی مورد استفاده قرار گرفتند. پس از الک کردن رسوبات، دانه هایی با اندازه ۲۵۰-۹۰ میکرون از نمونه ها برداشت، سپس برای حذف کربنات ها نمونه ها به مدت دو روز در اسید HCl قرار گرفتند. سپس به مدت دو روز برای حذف مواد آلی در داخل اسید H<sub>2</sub>O<sub>2</sub> ۳۵٪ قرار گرفتند.

در آزمایشگاه سن یابی لومینسانس دانشکده محیط زیست دانشگاه آکسفورد با استفاده از مایع سنگین سدیم پلی تنگستات (با چگالی > ۲/۵۸) نمونه های غنی از فلدسپار پتاسیم (KF) بدست آمد. برای حذف لایه بیرونی دانه های متاثر از اشعه آلفا، نمونه ها به مدت ۱۰ دقیقه در اسید HF ۴۸٪ قرار گرفتند. این مرحله را که در آن از اسید HF استفاده می شود، مرحله خوردگی گویند. پس از مرحله خوردگی با HF، آلدگی فلورائید با استفاده از اسید HCl از بین رفت. در هر مرحله از روش جداسازی، نمونه ها با آب مقطر شستشو داده شد. از چهار نمونه برداشت شده از گسل رفسنجان، تنها در یک نمونه (RB1) دانه های کوارتز به اندازه کافی یافت شد. در حالیکه همه نمونه ها شامل مقدار قابل توجهی از فلدسپار بود. دانه های فلدسپار یا کوارتز استخراج شده با استفاده از چسب سیلیکونی، با اندازه متوسط (به قطر پنج میلیمتر) بر روی دیسک های آلومینیومی به قطر ۱۰ میلیمتر چسبانده شدند که به آن الیکوت می گویند.

برای بدست آوردن دز معادل دز طبیعی نمونه ها از هر کدام از نمونه ها تعدادی الیکوت<sup>۱</sup> ساخته شده و الیکوت ها وارد دستگاه اندازه گیری لومینسانس شد. اندازه گیری لومینسانس الیکوت ها در دانشگاه آکسفورد توسط دستگاه مجهز به سیستم خود کار TL/OSL ریزو، مدل Risø (Model TL/OSL-DA-15) انجام شد. یک دیود لیزری نور سرخ با طول موج ۸۳۰ نانومتر به عنوان منبع تحریک کننده استفاده شد. لومینسانس تحریک شده توسط مادون قرمز با استفاده از یک لوله الکترونی بیالالکالین شناسایی فوتومولتی پلیر (PMT)<sup>۲</sup> آشکارسازی و لومینسانس آشکارسازی شده از طریق فیلتر های هفت میلیمتری Hoya U-340 اندازه گیری شد. دز معادل دز طبیعی پس از این مرحله

<sup>1</sup> Aliquot

<sup>2</sup> Photo Multiplayer Tube

توسط نرم افزار و با روش سار (SAR)<sup>۱</sup> قابل تخمین است. روش سار که روش باز تولید تک الیکوتی است بدین صورت است که پس از اندازه گیری سیگنال لومینسانس طبیعی، نمونه ها تحت دزهای مشخص آزمایشگاهی قرار داده می شوند و سپس سیگنال لومینسانس ناشی از آنها اندازه گیری می شود (جدول ۱). بدین ترتیب دز معادل دز طبیعی قابل تخمین است (فتاحی و مهرشاهی ۱۳۹۷). میزان دز سالانه برای هر نمونه با استفاده از غلظت های رادیو ایزو توپ، عمق دفن و رطوبت نمونه ها، مطابق روش مشابه انجام شده توسط فتاحی و همکاران (۲۰۰۷) محاسبه شد. در جدول ۲ نرخ دز سالانه برای نمونه ها آمده است.

جدول ۱: مراحل پروتکل سار (تولید مجدد الیکوت منفرد) ماری و وینتل (۲۰۰۰)<sup>۲</sup>

	Treatment	Observe
1	Give dose, $D_i$	
2	Preheat (160–300°C for 10 s)	
3	Optically stimulate for 40 s at 125°C	$L_i$
4	Give test dose, $D_i$	
5	Heat to 160°C (to < preheat in step 2)	
6	Optically stimulate for 40 s at 125°C	$T_i$
7	Optically stimulate for 40s at > preheat	
8	Return to 1	

جدول ۲: نرخ دز سالانه برای نمونه های فلدوپار

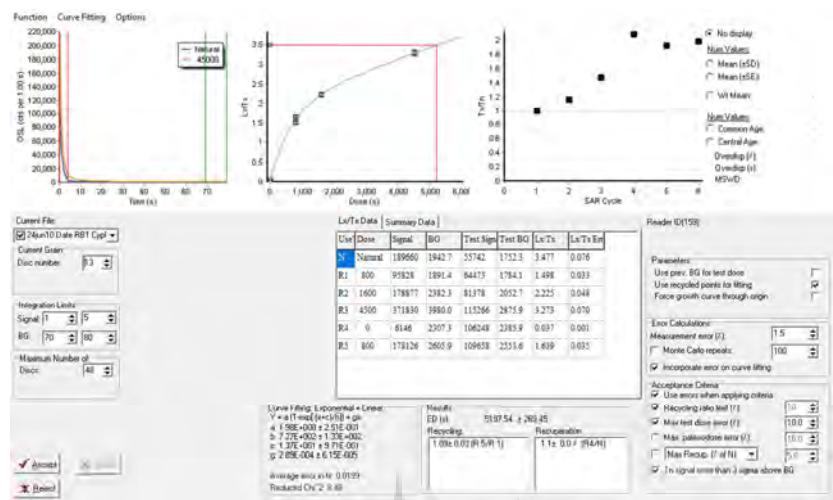
نمونه	عرض جغرافیایی	طول جغرافیایی	عمق(متر)	(%) پتانسیم	(%) اورانیوم	(%) توریم	نرخ دز
RA1	29.45411	56.31	0.55	0.53±0.05	0.69±0.13	2.3±0.4	1.56±0.08
RA2	29.45411	56.31	0.85	0.84±0.05	1.23±0.13	4.1±0.4	2.09±0.08
RB1	29.45345	56.31	0.60	0.38±0.05	1.01±0.13	2.9±0.4	1.53±0.08
RB2	29.45345	56.31	0.90	0.95±0.05	1.37±0.13	3.8±0.4	2.21±0.08

با روش باز تولید تک الیکوتی (که به روش SAR شناخته شده است)، داده های لازم جهت تعیین دز معادل دز طبیعی استخراج و برای تحلیل نرم افزاری بکار رفت.

محاسبه دز معادل دز طبیعی به کمک نرم افزار آنالیست و نرم افزار آر:

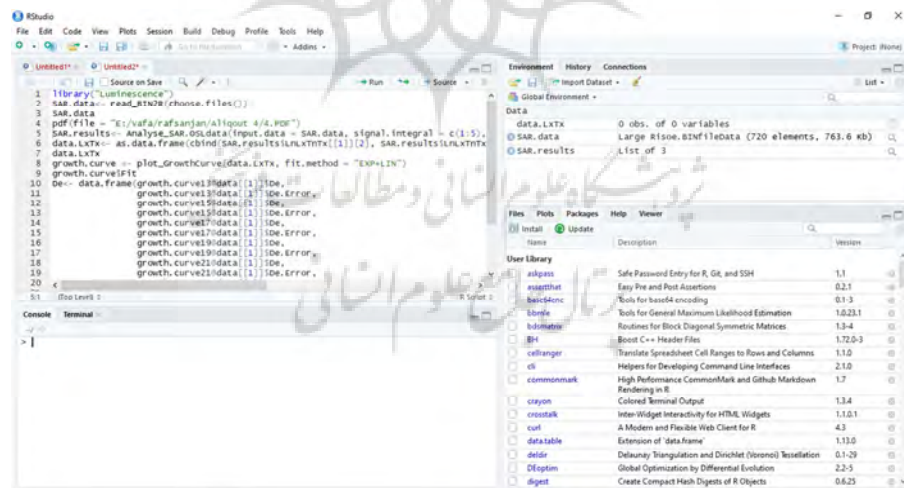
نرم افزار آنالیست، نرم افزاری است که به صورت معمول در تحلیل داده های لومینسانس استفاده می شود و تمامی تحلیل داده ها به صورت اتوماتیک انجام می شود (شکل ۶). برخلاف نرم افزار آنالیست، نرم افزار آر محیطی کدنویسی و تحلیلی است که می تواند وظایف آنالیست را به نحو احسن و با دقت و کیفیت بهتری انجام دهد.

<sup>۱</sup> Single Aliquot Regeneration<sup>۲</sup> Murry and Wintle, 2000



شکل ۶: محیط نرم‌افزار آنالیست

نرم‌افزار آر به دلیل وجود بسته‌های مختلف بر اساس موضوع مورد نیاز و این امکان که می‌توان بسته‌های جدیدی را در محیط رابط کاربری (آر استودیو) آن تولید کرد (شکل ۷)، ابزاری کاربردی برای رشته‌های وسیعی در علوم مختلف است. یکی دیگر از مزیت‌های این نرم‌افزار، توانایی کشیدن گراف‌ها و نمودارهای با کیفیت بالا و متنوع است که در کمتر نرم‌افزاری به آن توجه شده است.



شکل ۷: محیط نرم‌افزار آر استودیو

برای تحلیل داده‌های لومینسانس نیز در محیط آر استودیو بسته‌هایی ساخته شده است که کار را برای گرفتن خروجی مورد نیاز از داده‌های لومینسانس راحت‌تر می‌کند.

<sup>۱</sup>R Studio

از جمله بسته هایی که توسط تیم آر لومینسانس<sup>۱</sup> طراحی شده است بسته لومینسانس است که با هدف اندازه گیری سن نمونه ها در دسترس کاربران قرار گرفته است. این بسته هم شامل نمودارهای با کیفیت بالا و هم ویژگی های آماری بهتری نسبت به آنالیست است. فرمول های آماری مختلف و نوشتن کدهای دلخواه قدرت آماری بسته لومینسانس در نرم افزار آر را به نسبت نرم افزار آنالیست بیشتر می کند.

با استفاده از بسته لومینسانس و با ساخت وب اپلیکیشن مربوط به لومینسانس در محیط شایینی<sup>۲</sup>، استخراج نتایج نهایی داده ها، اعم از گرافها و نمودارها و سن هر نمونه بدست آمد. شایینی یک محیط کاربری ساخت وب اپلیکیشن در زبان آر است. این تکنولوژی در لومینسانس بنام آر لومینسانس شایینی<sup>۳</sup> شناخته می شود. از ویژگی های این محیط این است که هم برای دانه های کوارتز و هم برای دانه های فلدسپار کاربرد دارد. رسم نمودارهای شعاعی، هیستوگرام، چگالی دز مرکزی همچنین برآورد آنومالس فیدینگ نمونه فلدسپار، از دیگر قابلیت های محیط شایینی است.

در این پژوهش میزان دز و خطای اندازه گیری شده هر الیکوت مربوط به نمونه های مختلف توسط کدنویسی در محیط آر استودیو در بسته لومینسانس محاسبه شد. سپس با گرفتن خروجی حاصل از محاسبه در محیط آر استودیو، دز معادل دز طبیعی نمونه و در نهایت سن نمونه اندازه گیری شد.

توسط این دو نرم افزار می توان از روش های آماری مختلفی (روش سن وزنی، سن غیر وزنی، سن مرکزی و ...) برای اندازه گیری سن متوجه استفاده کرد. در این پژوهش نمونه ها به روش آماری سن مرکزی تعیین سن شد. سن مرکزی روشه است که سن با بیشترین احتمال در یک بازه را مشخص می کند. مزیت این روش آن است که نتایج پرت حاصل از تحلیل نرم افزاری را با کمترین احتمال و بر عکس تجمع نتایج در یک بازه مشخص را با بیشترین احتمال در نظر می گیرد.

### یافته های تحقیق

دو پارامتر اساسی به منظور محاسبه نرخ لغزش با استفاده از سن رسوبات در یک منطقه، میزان جابجا بی و سن نمونه های جابجا شده هستند. جهت محاسبه سن به دو پارامتر دز سالانه و دز معادل نیاز است. میزان دز معادل دز طبیعی نمونه ها، با استفاده از روش لومینسانس نوری (که اصول آن در بخش ۳-۱ و روش آزمایشگاهی آن در بخش ۳-۲ ارائه شده است)، برآورد می شود و مطابق توضیحات ارائه شده در بخش ۳-۳ مقادیر سن نمونه ها برآورد می شوند و جهت تعیین میزان نرخ لغزش منطقه مورد استفاده قرار می گیرند.

### تحلیل نرم افزاری:

اطلاعات به دست آمده از دستگاه خوانش لومینسانس ریزو<sup>۴</sup> به صورت فایل بین (BIN) است که ورودی برنامه های نرم افزارهای آنالیست و آر است. خروجی های حاصل از به کار گیری نرم افزارهای آنالیست و آر مقایسه و نتایج حاصل

<sup>1</sup> R Luminescence Group

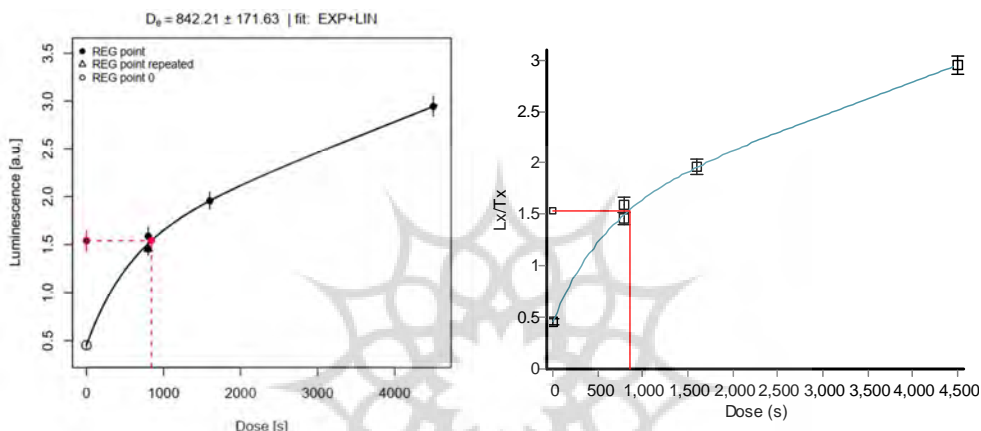
<sup>2</sup> shiny

<sup>3</sup> R Luminescence Shiny

<sup>4</sup> RiSo TL/OSL Reader

از دو نرمافزار برای هر کدام از نمونه‌ها بدست آمد. در ادامه، ابتدا نمودارهای حاصل از دو نرمافزار بر روی دانه‌های کوارتز نمونه RB1 مقایسه و سپس نتایج حاصل از دو نرمافزار بر روی دانه‌های فلدسپار هر چهار نمونه بررسی می‌شود.

**الف - مقایسه نمودارهای حاصل از دو نرمافزار برای دانه‌های کوارتز نمونه RB1:**  
نمودارهای ترسیم شده منحنی رشد<sup>۱</sup> توسط آنالیست و R در شکل ۸ نشان داده شده است. منحنی رشد، منحنی استاندارد ایست که با استفاده از آن، می‌توان دُز معادل دُز طبیعی (De) حاصل از هر الیکوت را برآورد کرد.



شکل ۸: سمت راست: منحنی رشد نمونه کوارتز RB1 در نرمافزار R و سمت چپ: منحنی رشد در نرمافزار آنالیست برای یک الیکوت واحد.

با نگاه به شکل ۸ می‌توان به برتری گرافیکی نمودار حاصل از نرمافزار R نسبت نرمافزار آنالیست پی برد. نرمافزار R به دلیل مشخص کردن نوع نقاط موجود در منحنی رشد که شامل نقاط دُز بازتولید، دُز بازتولید تکرار شده، دُز بازتولید صفر<sup>۲</sup> و تعیین مقدار عددی دُز اندازه‌گیری شده و خطای آن (که بالای نمودار درج شده) است اطلاعات کامل‌تری نسبت به همان نمودار در نرمافزار آنالیست می‌دهد.

در شکل ۹، نمودار مونت کارلو<sup>۳</sup> حاصل از هر دو نرمافزار نمایش داده شده است. علاوه بر اینکه کیفیت گرافیکی نمودار در R به مراتب واضح‌تر از آنالیست است این نمودار به ما می‌گوید که از ۱۰۰ برآوردهی که نرمافزار انجام داده است احتمال حضور جواب در یک بازه مشخص (در شکل ۱۱ (از ۶۰۰ تا ۹۰۰) ۹۵٪/۵) است و در این بازه مقدار ۸۰٪/۵ با بیشترین فراوانی بهترین جواب برای مقدار دُز این الیکوت خواهد بود. بنابراین، نمودار مونت کارلو حاصل از نرمافزار R کاربردی‌تر و قابل فهم‌تر از همان نمودار در آنالیست خواهد بود.

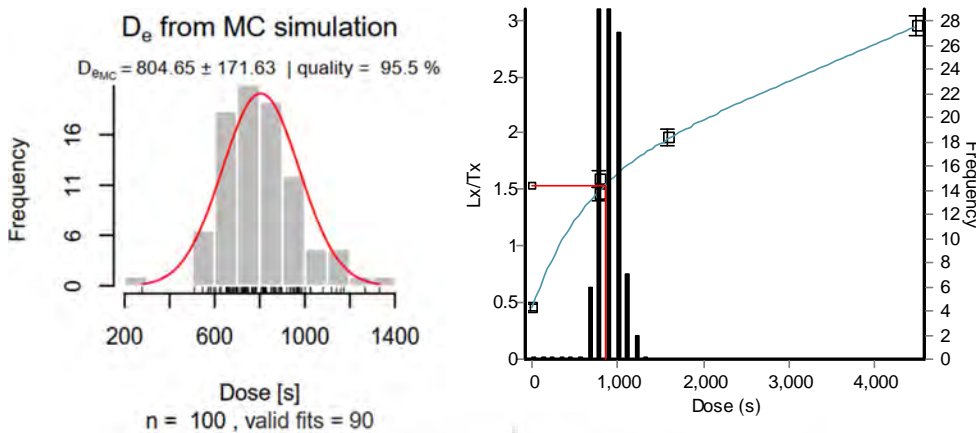
<sup>۱</sup> Growth Curve

<sup>۲</sup> REG point

<sup>۳</sup> REG point repeated

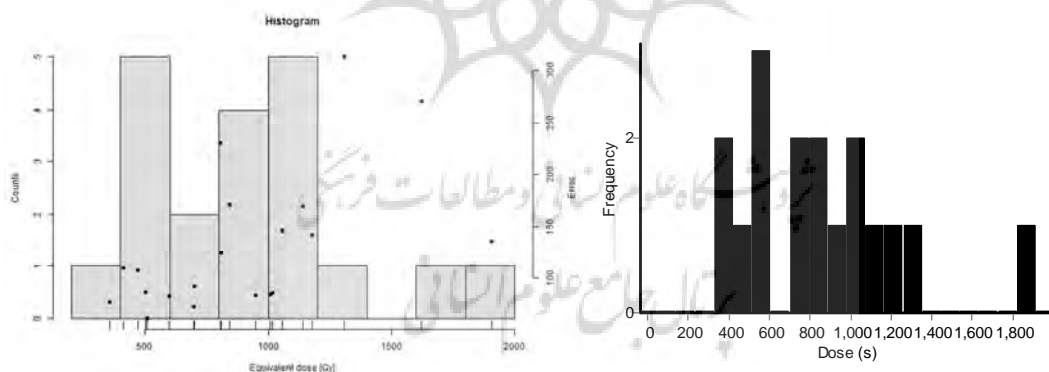
<sup>۴</sup> REG point 0

<sup>۵</sup> Monte Carlo



شکل ۹: نمودار مونت کارلو دانه های کوارتز نمونه RB1. سمت راست: در R و سمت چپ: در آنالیست برای ۱۰۰ تا برآورد

با مقایسه نمودارهای هیستوگرام می توان پی برد که نمودار هیستوگرام در R، علاوه بر اینکه خطای محاسبه شده برای هر الیکوت را نمایش می دهد (محور عمودی سمت راست شکل)، موقعیت و مقدار هر کدام را نیز بر روی نمودار نشان می دهد (شکل ۱۰).



شکل ۱۰: نمودار هیستوگرام دانه های کوارتز نمونه RB1. سمت راست: در نرم افزار آنالیست. نمودار ترسیم شده در R فراوانی و موقعیت هر الیکوت و دُز بدست آمده از آن را نشان می دهد.

برخی از الیکوت ها در شرایطی و به دلیل اشباع شدگی قابل اندازه گیری نیستند. یکی از این دلایل می تواند ناشی از سن زیاد نمونه و ظرفیت گم دانه های آن الیکوت باشد. در این پژوهش برای هر نمونه نرم افزار آنالیست و نرم افزار R دُز معادل دُز طبیعی تعدادی الیکوت را مشترک و تعدادی الیکوت را غیر مشترک اندازه گیری کردند. در مورد نمونه RB1 نمودارهای R و آنالیست به ترتیب تعداد ۲۰ و ۱۷ الیکوت را اندازه گیری کردند که در ۱۷ مورد مشترک بودند. هر چقدر تعداد الیکوت های اندازه گیری شده بیشتر باشد نتایج بهتری حاصل می شود.

با تقسیم دُز معادل دُز طبیعی بر نرخ دُز سالانه سن نمونه بدست می‌آید. نرخ دُز سالانه برای نمونه کوارتز  $1/11$  میلی‌گری بر سال است. در جدول ۳ سن نمونه RB1 نشان داده است.

جدول ۳: اطلاعات سنی دانه‌های کوارتز نمونه RB1 با استفاده از دو برنامه آنالیست و R (تعداد ۲۰ الیکوت ساخته شده از نمونه که آنالیست ۱۷ الیکوت و R ۲۰ الیکوت را اندازه‌گیری کردند و تعداد ۱۷ الیکوت مشترک داشتند)

	تعداد الیکوت اندازه گیری شده	تعداد الیکوت مشترک	دُز معادل (گری)	نرخ دُز سالانه (هزار سال/گری)	سن (هزار سال)
آنالیست	۱۷	۱۷	$180/2 \pm 10/6$	$1/11 \pm 0/08$	$162/4 \pm 15/7$
R	۲۰	۱۷	$178/6 \pm 9/5$	$1/11 \pm 0/08$	$160/9 \pm 15/0$

#### ب- نتایج حاصل از دو نرم‌افزار بر روی دانه‌های فلدسپار:

سن دانه‌های فلدسپار همانند سن دانه‌های کوارتز اندازه‌گیری شد و در جداول ۴ تا ۷ نشان داده شده است.

جدول ۴: سن بدست آمده برای دانه‌های فلدسپار نمونه RA1 با استفاده از دو برنامه آنالیست و R

	تعداد الیکوت اندازه گیری شده	تعداد الیکوت مشترک	دُز معادل (گری)	سن (هزار سال)
آنالیست	۶	۳	$321/9 \pm 34/7$	$205/7 \pm 24/6$
R	۷	۳	$225/7 \pm 8/6$	$177/7 \pm 21/4$

جدول ۵: سن بدست آمده برای دانه‌های فلدسپار نمونه RA2 با استفاده از دو نرم‌افزار آنالیست و R

	تعداد الیکوت اندازه گیری شده	تعداد الیکوت مشترک	دُز معادل (گری)	سن (هزار سال)
آنالیست	۵	۳	$266/4 \pm 30/0$	$127/1 \pm 15/1$
R	۳	۳	$198/1 \pm 3/6$	$94/9 \pm 4/0$

جدول ۶: سن بدست آمده برای دانه‌های فلدسپار نمونه RB1 با استفاده از دو برنامه آنالیست و R

	تعداد الیکوت اندازه گیری شده	تعداد الیکوت مشترک	دُز معادل (گری)	سن (هزار سال)
آنالیست	۷	۵	$265/5 \pm 16/5$	$171/9 \pm 14/0$
R	۹	۵	$263/4 \pm 9/1$	$171/3 \pm 10/7$

جدول ۷: سن بدست آمده برای دانه‌های فلدسپار نمونه RB2 با استفاده از دو برنامه آنالیست و R

	تعداد الیکوت اندازه گیری شده	تعداد الیکوت مشترک	دُز معادل (گری)	سن (مرکزی) (هزار سال)
آنالیست	۹	۶	$255/4 \pm 26/9$	$115/3 \pm 13/6$
R	۹	۶	$206/7 \pm 14/0$	$107/6 \pm 10/8$

#### نتایج و بحث

از مقایسه سن تخمین زده شده توسط نرم‌افزار آر و آنالیست برای نمونه‌های مختلف می‌توان به این مهم پی برد که نتایج حاصل توسط نرم‌افزار آر و آنالیست تا حدود زیادی به هم شبیه هستند. خطای حاصل از اندازه‌گیری توسط

نرم افزار آر برای همه نمونه ها مقدار کمتری را نشان می دهد که نقطه قوت این نرم افزار است. برای نمونه هی کوارتز (RB1) نرم افزار R تعداد سه الیکوت بیشتر نسبت به آنالیست اندازه گیری کرده است. این مسئله باعث می شود که نرم افزار R به عنوان نرم افزار قابل اطمینانی شناخته شود. سن کوارتز نمونه (RB1) ظاهرا مقدار کمتری از سن فلدسپار نمونه (RB1) نشان می دهد اما با درنظر گرفتن خطا تقریبا سن حاصل از دانه های کوارتز و فلدسپار (RB1) برابرند.

در مورد سن محاسبه شده توسط دو نرم افزار برای نمونه فلدسپار RA2، اختلاف چشمگیری وجود دارد که دلیل اصلی آن تعداد کم الیکوت ها و اختلاف تعداد آنها در دو نرم افزار است (در آر ۳ الیکوت و در آنالیست ۵ الیکوت). به نظر می رسد که نمونه 2 RB1 به دلیل کمبود تعداد الیکوت و پراکندگی داده های سنی، قابل استناد نیست. برای نمونه فلدسپار RB1 نرم افزار R تعداد دو الیکوت را اندازه گرفته است. علاوه بر موارد ذکر شده نتایج گرافیکی حاصل از نرم افزار R به دلیل اینکه اطلاعات کامل تر و نمودارهای با وضوح بالاتری را در اختیار می گذارد مناسب تر از نرم افزار آنالیست است.

گرچه مقایسه دو نرم افزار، کارایی نرم افزار R را جهت سن یابی تأیید می کند با این وجود فارغ از نوع نرم افزار استفاده شده مسئله اصلی در این پژوهش این است که کدام سن اندازه گیری شده آغاز زمان جایجایی رسوبات توسط گسلش را نشان می دهد.

در مورد دانه های فلدسپار همانگونه که در شکل ۹ ملاحظه می شود نمونه های RA1 و RB1 به ترتیب از عمق های ۵۵ و ۶۰ سانتی متر و نمونه های RA2 و RB2 به ترتیب از عمق های ۸۵ و ۹۰ سانتی متری برداشت شده اند. انتظار می رود که سن نمونه های RA1 و RB1 جوانتر از سن نمونه های RA2 و RB2 باشند. اما اندازه گیری های انجام شده نشان می دهد که سن نمونه های RA2 و RB2 به دلایل نامشخصی کمتر هستند. دلایل مختلفی را می توان ارائه داد که چرا سن نمونه های کم عمق بیشتر از سن نمونه های با عمق بیشتر است.

یک عامل نرخ دز سالانه است. نرخ دز نمونه های با عمق کم RB1 و RA1 تقریباً مقدار ۱/۵ گری بر هزار سال و برای نمونه های عمیق تر RA2 و RB2 این عدد تقریباً ۲/۱ گری بر سال است. این تفاوت در نرخ دز یکی از عوامل اختلاف سن دو نمونه در یک چاله با عمق های متفاوت است که می تواند ناشی از تفاوت جنس رسوبات و نوع رسوب گذاری برای دو لایه باشد. میزان پرتوزایی مواد رادیواکتیو رسوبات در لایه های مختلف متفاوت از همدیگر است، که در نهایت منجر به تفاوت در نرخ دز می شود.

دلیل عمدۀ دیگر می تواند ناشی از صفرشدنگی ناقص رسوبات در زمان رسوب گذاری باشد. بنابر این اختلاف سن بین نمونه ها در اعمق مختلف در یک چاه (اختلاف سن بین نمونه RA1 و RB2 و اختلاف سن بین نمونه RB1 و RB2) می تواند ناشی از تفاوت در دز معادل دز طبیعی باشد؛ گاهی چنین مسئله ای برای نهشته های مخروط افکنه ای و رودخانه ای اتفاق می افتد. هنگامی که سرعت جایجایی مواد در رودخانه زیاد باشد (به عنوان مثال: هنگام سیلاب) امکان اینکه تعدادی از دانه های رسوبات تحت تاثیر نور قرار نگیرند یا به میزان کافی در معرض نور قرار نگیرند، وجود دارد. طی این حادثه سیلانل لومینسانس دانه ها کاملا خالی نمی شود و ساعت لومینسانس این دانه ها صفر نمی شود. از آنجایی که ساعت لومینسانس چنین رسوباتی صفر نشده است و سیلانل لومینسانس از گذشته در این رسوبات

باقي مانده است سن را بالاتر از مقدار واقعی نشان می‌دهند. تفسیری که در ارتباط با نمونه‌های فلدوپار می‌توان ارائه داد این است که احتمال دارد هر چهار نمونه متاثر از صفرشدنی ناقص سیگنال لومینسانس باشند؛ اما در مورد نمونه‌های عمیق‌تر احتمالاً رسوبات با سرعت کمتری جابجا شده یا در هنگام جابجایی این دانه‌ها زمان کافی در معرض نور قرار گرفته‌اند و امکان دارد سیگنال آنها صفر یا نزدیک به صفر باشد. رسوبات نمونه‌های کم عمق (RA1) RB1 امکان دارد در شرایطی جابجا شده باشند که رسوب‌گذاری بصورت سیلاپ یا در تاریکی شب انجام گرفته باشد. با این تفاسیر برخی از دانه‌هایی که در داخل رسوبات هستند ممکن است قبل از رسوب سیگنالی از دست نداده باشند یا به میزان کمی از دست داده‌اند. بدین طریق ترکیبی از دانه‌هایی با سیگنال لومینسانس تخلیه نشده وجود خواهد داشت. به همین دلیل سنی که این نمونه‌ها نشان می‌دهند بسیار بیشتر از سن واقعی است. با این توجیه در واقع می‌توان گفت که در بین سن‌های بدست آمده برای چهار نمونه فلدوپار، کمترین سن به واقعیت نزدیک تر است چرا که این سن در حالتی بدست آمده است که دانه‌های رسوبات بیشترین صفرشدنی سیگنال لومینسانس در زمان رسوب‌گذاری را داشته‌اند.

جدول ۸: سن نمونه‌های فلدوپار در دو نرم‌افزار R و آنالیست

نرم‌افزار	نمونه	سن (هزار سال)	سن (هزار سال)
آنالیست	RA1	$20.5/7 \pm 24/6$	۲۳۰-۱۸۱
R		$177/7 \pm 21/4$	۱۹۸-۱۵۶
آنالیست	RA2	$127/1 \pm 15/1$	۱۴۲-۱۱۲
R		$94/9 \pm 4/0$	۹۵-۹۱
آنالیست	RB1	$171/9 \pm 14/0$	۱۸۶-۱۵۸
R		$171/3 \pm 10/7$	۱۸۲-۱۶۱
آنالیست	RB2	$115/3 \pm 13/6$	۱۲۹-۱۰۲
R		$107/6 \pm 10/8$	۱۲۸-۹۷

لذا در میان همه نمونه‌ها، سن نمونه جوانتر (RB2) می‌تواند به عنوان سن مخروط افکنه انتخاب شود، زیرا احتمال دارد سیگنال باقیمانده نمونه جوانتر، نسبت به نمونه‌های دیگر قبل از دفن شدنی کمترین مقدار (شاید صفر) باشد. بر طبق جدول زیر نرخ لغزش گسل رفسنجان، با توجه به سن‌های بدست آمده در جدول ۹ توسط برنامه R و آنالیست محاسبه شده است.

جدول ۹: نرخ لغزش محاسبه شده توسط دو نرم‌افزار R و آنالیست

نرم‌افزار	نمونه	نرخ لغزش (میلی‌متر بر سال)
آنالیست	RB2	$0.42 \pm 0.06$
R	RB2	$0.47 \pm 0.06$

### نتیجه‌گیری

نرخ لغزش محاسبه شده با استفاده از سن برآورده شده با نرم‌افزار آنالیست، برای گسل رفسنجان تقریباً ۴۲ میلیمتر در سال تخمین زده شد و این مقدار، همان مقداری است که توسط فتاحی و همکاران (۲۰۱۱) با استفاده از آنالیست محاسبه شده است. در حالی که نرخ لغزش بدست آمده با استفاده از سن برآورده شده با نرم‌افزار R برابر ۰۴۷ میلیمتر بر سال است. بنابر تقسیم گسل‌ها بر اساس نرخ لغزش آنها، که توسط کلر و پینتر (۱۹۹۶) انجام شده است؛ چنین مقدار نرخ لغزشی گسل رفسنجان را در مجموعه گسل‌های دارای درجه فعالیت متوسط دسته‌بندی می‌کند. بر روی این گسل بهندرت خرد زمین‌لرزه ثبت می‌شود. این نرخ لغزش پایین مربوط به زمان زمین‌شناسی اواخر کواترنری است؛ به این مفهوم که طول دوره مورد بررسی نزدیک به صد هزار سال (سن رسوبات مخروط افکنه ۱۱۵ هزار سال با آنالیست و ۱۰۸ هزار سال با R) است. بر روی گسل رفسنجان یک گسیختگی به اندازه سه متر مشخص شده است، در صورتی که کل این گسیختگی ناشی از زمین‌لرزه لاله‌زار در سال ۱۹۲۳ درنظر گرفته شود، این زمین‌لرزه باید رخدادی با بزرگی ۷ تا ۷/۵ بوده باشد. بنابراین برای رخداد چنین زمین‌لرزه‌ای باید به صورت بالقوه سه متر لغزش وجود داشته باشد. با نرخ لغزش به میزان ۰۴۷ میلیمتر بر سال، سه متر تجمع لغزش تقریباً نیازمند مدت زمانی برابر با ۶۴۰۰ سال نیاز است. با توجه به اینکه این زمین‌لرزه در سال ۱۹۲۳ رخ داده است، در این صورت زمانی نزدیک به ۶۳۰۰ سال نیاز است که در همان قطعه از گسل زمین‌لرزه‌ای با چنین بزرگایی اتفاق بیفت. لازم به ذکر است که این محاسبات با فرض صفر شدگی کامل سیگنال لومینسانس نمونه (RB2) انجام شده است. اگر نمونه (RB2) سیگنال لومینسانس خود را به صورت کامل در هنگام رسوب از دست نداده باشد، سن نمونه (RB2) جوانتر و نرخ لغزش بیشتر و دوره بازگشت کمتر خواهد بود. لذا توصیه می‌شود مطالعات بیشتری در این باب انجام شود.

### منابع

- امینی، حمیده، فتاحی، مرتضی، قاسمی، محمدرضا (۱۳۹۰). محاسبه نرخ لغزش در منطقه شش تراز گسل دورونه به روش هیستوگرام و حداقل سن با استفاده از لومینسانس برانگیخته شده با نور، مجله ژئوفیزیک ایران، سال پنجم، شماره ۳، صص ۲۹-۱۴.
- شیخ‌الاسلامی، محمد رضا، جوادی، محمد رضا، اسدی سرشار، مریم، آقا حسینی، احمد، کوه پیما، میثم، وحدتی دانشمند، بهارک (۱۳۹۲). دانشنامه گسلهای ایران، پژوهشگاه علوم زمین، جلد اول، ص ۶۰۰.
- فتحی، مرتضی، رستمی مهربان، سمية، طالبیان، مرتضی، بحرودی، عباس، هالینگروث، جیمز، واکر، ریچارد (۱۳۹۰)؛ بررسی فعالیت گسل نیشابور در استان خراسان، مجله علوم زمین، سال پنجم، شماره ۵، صص ۵۵-۵۸.
- فتحی، مرتضی، رستمی مهربان، سمية، طالبیان، مرتضی، بحرودی، عباس، هالینگروث، جیمز، واکر، ریچارد (۱۳۹۰)؛ بررسی فعالیت گسل شمال نیشابور، مجله فیزیک زمین و فضا، دوره ۳۷، شماره ۴، صص ۱۷۹-۱۹۳.
- فتحی مرتضی، مهرشاهی داریوش. استفاده از روش لومینسانس نوری جهت تعیین سن رسوبات لسی اطراف شهر میبد و تفسیر شرایط تشکیل آنها. مجله فیزیک زمین و فضا، شماره ۴۴، صفحه ۳۰۷-۳۱۹، تابستان ۱۳۹۷.
- حیدری، مریم، فتاحی، مرتضی (۱۳۹۰)؛ بررسی مجدد دو نمونه مهم از تراشه ایران، هفدهمین کنفرانس ژئوفیزیک ایران، صص ۱۸۵-۱۸۸.
- Aitken, M. J., (1970); Dating by archaeomagnetic and thermoluminescent methods. Philosophical Transactions of the Royal Society of London, Series A Mathematical and Physical Sciences, No. 269, pp. 77-88.
- Ambraseys, N. N., Melville, C. P., (1982); A History of Persian Earthquakes. Cambridge Univ Press, New York, pp. 199-212.
- Amini, H., Fattahai, M., Ghassemi, M.R., (2011); Determination of the slip rate in the Shesh-Taraz river on the Doruneh fault using histogram and minimum age OSL methods. Iranian Journal of Geophysics, No. 5 (3), pp. 14-29.

- Amini, H., Fattahi, M., Ghassemi, MR., (2016); Offsets along the Doruneh fault; implications for dating sampling sites and slip rate determination. *Journal of Tethys*, No. 4 (1), pp. 69-87.
- Berberian M., (1976); Contribution to the seismotectonics of Iran (part II-III): in commemoration of the 50th anniversary of the Pahlavi dynasty. No. 39.
- Burow, Ch., Kehi, M., Hilgers, A., Weniger, G. Ch., Angelucci, D. E., Villaverde, V., Zapata, J., Zilhao, J., (2015); Luminescence dating of Fluvial deposits in the rock shelter of Cueva Anton, Spain. *GEOCHRONOMETRIA*, No. 42, pp. 107-125. <https://doi.org/10.1515/geochr-2015-0010>
- Dietze, M., Kreutzer, S., Fuchs, M. C., Burow, C., Fischer, M., Schmidt, C., (2013); A practical guide to the R package Luminescence. *Ancient TL*, No. 31(1), pp. 11-18. <https://hal.archives-ouvertes.fr/hal-01846155>
- Fattahi, M., Karimi Moayed, N., Walker, R., Talebian, M., (2013); Determining the slip rate on the Gowk fault using POST-IR method. *Journal of the EARTH AND SPACE PHYSICS*, No. 39(2), pp. 13-28. [10.22059/JESPHYS.2013.35179](https://doi.org/10.22059/JESPHYS.2013.35179)
- Fattahi, M., Talebian, M., Khatib, MM., Aghazadeh, A., Amini, H., Ataei, N., (2011); Slip Rate Determination of Dasht-e Bayaz Fault Using Single Grain OSL Dating of Miam Qanat System in Eastern Iran. *Journal of Seismology & Earthquake Engineering*, No. 21 (1), pp. 1-9.
- Fattahi, M., Walker, R., Hollingsworth, J., Bahroudi, A., Talebian, M., Armitage, S. and Stokes, S., (2006); Holocene slip-rate on the Sabzevar thrust fault, NE Iran, determined using Optically-stimulated Luminescence (OSL). *Earth and Planetary Science Letters*, No. 245, 673-684. <https://doi.org/10.1016/j.epsl.2006.03.027>
- Fattahi, M., Walker, R. T., Khatib, M.M., Dolati, A., Bahroudi, A., (2007); Slip-rate estimate and past earthquakes on the Doruneh fault, eastern Iran. *Geophysical Journal International*, No. 168(2), pp. 691-709. <https://doi.org/10.1111/j.1365-246X.2006.03248.x>
- Fattahi, M., Walker, R. T., Talebian, M., Sloan, R. A., Rasheed, A., (2011); The structure and late Quaternary slip rate of the Rafsanjan strike-slip fault, SE Iran. *GEOSPHERE*, No. 7(5), pp. 1159-1174. <https://doi.org/10.1130/GES00651.1>
- Foroutan, M., Nazari, H., Meyer, B., Sebrier, M., Fattahi, M., Dortz, K., (2012); Late pleistocene-holocene right-slip rate of the Dehshir Fault, Central Iran Plateau. *GEOSCIENCES*, No. 21 (82), pp. 195-206. [10.22071/GSJ.2011.54458](https://doi.org/10.22071/GSJ.2011.54458)
- Friedrich, J., Kreutzer, S., Schmidt, Ch., (2016); Solving ordinary differential equations to understand luminescence: 'RLumModel', an advanced research tool for simulating luminescence in quartz using R. *Quaternary Geochronology*, No. 35, pp. 88-100. <https://doi.org/10.1016/j.quageo.2016.05.004>
- Ghassemi, M. R., Fattahi, M., Landgraf, A., Ahmadi, M., Ballato, P., & Tabatabaei, S. H., (2014); Kinematic links between the Eastern Moshav Fault and the North Tehran Fault, Alborz range, northern Iran. *Tectonophysics*, 622, 81-95. <https://doi.org/10.1016/j.tecto.2014.03.007>
- Gomez F., Karam, G., Khawlie M., McClusky, S., Vernant, Ph., Reilinger, R., Jaafar, R., Tabet, C., Khair, K., Barazangi, M., (2007); Global Positioning System measurements of strain accumulation and slip transfer through the restraining bend along the Dead Sea fault system in Lebanon. *Geophysical Journal International*, No. 168(3), pp. 1021-1028. <https://doi.org/10.1111/j.1365-246X.2006.03328.x>
- Keller, E. A., Pinter, N., (1996); Active Tectonics: Earthquakes, Uplift, and Landscape. Prentice Hall, 359 pp.
- Kreutzer, S., Martin, L., Guerin, G., Tribolo, C., Selva, P., Mercier, N., (2018); Environmental Dose Rate Determination Using a Passive Dosimeter: Techniques and Workflow for alpha-Al<sub>2</sub>O<sub>3</sub>:C Chips. *Geochronometria*, No. 45, pp. 56-67. <https://doi.org/10.1515/geochr-2015-0086>
- Kreutzer, S., Schmidt, C., Fuchs, M. C., Dietze, M., Fischer, M., Fuchs, M., (2012); Introducing an R package for luminescence dating analysis. *Ancient TL*, No. 30 (1), 1-8.
- Le Dortz, K., Meyer, B., Sebrier, M., Nazari, H., Braucher, R., Fattahi, M., Benedetti, L., Foroutan, M., Siame, L., Bourles, D., Talebian, M., Bateman, M.D., and Ghorashi, M., (2009); Holocene right-slip rate determined by cosmogenic and OSL dating on the Anar fault, central Iran. *Geophysical Journal International*, v. 179, pp. 700-710. [10.1111/j.1365-246X.2009.04309.x](https://doi.org/10.1111/j.1365-246X.2009.04309.x)
- Liritzis, I., Singhvi, A. K., Feathers, J. K., Wagner, G. A., Kadereit, A., Zacharias, N., & Li, S. H. (2013). Luminescence dating of archaeological materials. In *Luminescence Dating in Archaeology, Anthropology, and Geoarchaeology* (pp. 25-40). Springer, Heidelberg. [10.1007/978-3-319-00170-8\\_6](https://doi.org/10.1007/978-3-319-00170-8_6)
- Murray, A. S. and Wintle, A. G., 2000, Luminescence dating of quartz using an improved single-aliquot regenerative-dose protocol. *Radiation Measurement*, 32, 57-73. [https://doi.org/10.1016/S1350-4487\(99\)00253-X](https://doi.org/10.1016/S1350-4487(99)00253-X)
- Nazari, H., Fattahi, M., Meyer, B., Sébrier, M., Talebian, M., Foroutan, M., Le Dortz, K., Bateman, M.D., Ghorashi, M., (2009); First evidence for large earthquakes on the Deshir Fault, Central Iran Plateau. *Terra Nova*, 21(6), 417-426. <https://doi.org/10.1111/j.1365-3121.2009.00892.x>
- Peppe, D. J., Deino, A. L., (2013); Dating Rocks and Fossils Using Geologic Methods. *Nature Education Knowledge*, No. 4(10):1.
- Talebian, M., Copley, A.C., Fattahi, M., Ghorashi, M., Jackson, J.A., Nazari, H., Sloan, R.A., Walker, R.T., (2016); Active faulting within a megacity: the geometry and slip rate of the Pardisan thrust in central Tehran, Iran. *Geophysical Journal International*, Volume 207(3), 1688-1699. <https://doi.org/10.1093/gji/ggw347>
- Vernant, P., Nilforoushan, F., Hatzfeld, D., Abbassi, M., Vigny, C., Masson, F., Nankali, H., Martinod, J., Ashtiani, A., Bayer, R., (2004); Present-day crustal deformation and plate kinematics in the Middle East constrained by GPS

measurements in Iran and northern Oman. Geophysical Journal International, No. 157, 381-398 .

<https://doi.org/10.1111/j.1365-246X.2004.02222.x>

Walker R.T., (2006); A remote sensing study of active folding and faulting in southern Kerman province, S.E. Iran. Journal of Structural Geology, No. 28(4), 654–668. <https://doi.org/10.1016/j.jsg.2005.12.014>

Walker, R. T., Khatib, M. M., Bahroudi, A., Rodés, A., Schnabel, C., Fattah, M., ... & Bergman, E., (2015); Co-seismic, geomorphic, and geologic fold growth associated with the 1978 Tabas-e-Golshan earthquake fault in eastern Iran. Geomorphology, 237, 98-118. <https://doi.org/10.1016/j.geomorph.2013.02.016>



## References

### References (in Persian)

- Amini, H., Fattahi, M., Ghasemi, MR., (2011); Determination of the slip rate in the Shesh-Taraz river on the Doruneh fault using histogram and minimum age OSL methods, Iranian Journal of Geophysics, Vol. 5, No. 3, pp. 14-29. <https://www.sid.ir/fa/journal/ViewPaper.aspx?ID=201847>. [In Persian]
- Fattahi, M., Rostami Mehraban, S., Talebian, M., Bahroudi, A., Hollingsworth, J., Walker, R. T., (2011); An investigation into the activity of the Neyshabour fault, eastern Iran, in Khorasan province, Journal of Earth Sciences, Vol. 5, No. 5, pp. 55-79. <https://www.sid.ir/fa/journal/ViewPaper.aspx?id=165348>. [In Persian]
- Fattahi, M., Rostami Mehraban, S., Talebian, M., Bahroudi, A., Hollingsworth, J., Walker, R. T., (2011); An investigation into the activity of the North Neyshabour fault, eastern Iran, Journal of the Earth and Space Physics, Vol. 37, No. 4, pp. 179-193. <https://www.magiran.com/paper/984819>. [In Persian]
- Fattahi, M., Mehrshahi,Darush., (2018); OSL Dating of Maibod Loess deposits and their formation interpretation, Journal of the Earth and Space Physics, Vol. 44, No. 2, pp. 307-319. [10.22059/jesphys.2018.253856.1006986](https://doi.org/10.22059/jesphys.2018.253856.1006986). [In Persian]
- Heidari, M., Fattahi, M., (2011); Re-dating two important sample from Ira trench, 17th Iranian Geophysical Conference, pp. 185-188. <http://nigsconference.ir/data/cnf1477383530/uploads/56-3831.pdf>. [In Persian]
- Sheykholeslami, MR., Javadi, HR., Asadi Sarshar, M., Agha Hosseini, A., Kuh Peyma, M., Vahdati Daneshmand, B., (2013); Iran faults Encyclopedia, Research Institute for Earth Sciences, No. (1), 600 pp. [In Persian]

### References (in English)

- Aitken, M. J., (1970); Dating by archaeomagnetic and thermoluminescent methods. Philosophical Transactions of the Royal Society of London, Series A Mathematical and Physical Sciences, No. 269, pp. 77–88.
- Ambraseys, N, N., Melville, C. P., (1982); A History of Persian Earthquakes. Cambridge Univ Press, New York, pp. 199-212.
- Amini, H., Fattahi, M., Ghassemi, MR., (2011); Determination of the slip rate in the Shesh-Taraz river on the Doruneh fault using histogram and minimum age OSL methods. Iranian Journal of Geophysics, No. 5 (3), pp. 14-29.
- Amini, H., Fattahi, M., Ghassemi, MR., (2016); Offsets along the Doruneh fault; implications for dating sampling sites and slip rate determination. Journal of Tethys, No. 4 (1), pp. 69-87.
- Berberian M., (1976); Contribution to the seismotectonics of Iran (part II-III): in commemoration of the 50th anniversary of the Pahlavi dynasty. No. 39.
- Burow, Ch., Kehi, M., Hilgers, A., Weniger, G. Ch., Angelucci, D. E., Villaverde, V., Zapata, J., Zilhao, J., (2015); Luminecence dating of Fluvial deposites in the rock shelter of Cueva Anton, Spain. GEOCHRONOMETRIA, No. 42, pp. 107–125. <https://doi.org/10.1515/geochr-2015-0010>
- Dietze, M., Kreutzer, S., Fuchs, M. C., Burow, C., Fischer, M., Schmidt, C., (2013); A practical guide to the R package Luminescence. Ancient TL, No. 31(1), pp. 11-18. <https://hal.archives-ouvertes.fr/hal-01846155>
- Fattahi, M., Karimi Moayed, N., Walker, R., Talebian, M., (2013); Determining the slip rate on the Gowk fault using POST-IR method. Journal of the EARTH AND SPACE PHYSICS, No. 39(2), pp. 13-28. [10.22059/JESPHYS.2013.35179](https://doi.org/10.22059/JESPHYS.2013.35179)
- Fattahi, M., Talebian, M., Khatib, MM., Aghazadeh, A., Amini, H., Ataei, N., (2011); Slip Rate Determination of Dasht-e Bayaz Fault Using Single Grain OSL Dating of Miam Qanat System in Eastern Iran. Journal of Seismology & Earthquake Engineering, No. 21 (1), pp. 1-9.
- Fattahi, M., Walker, R., Hollingsworth, J., Bahroudi, A., Talebian, M., Armitage, S. and Stokes, S., (2006); Holocene slip-rate on the Sabzvar thrust fault, NE Iran, determined using Optically-stimulated Luminescence (OSL). Earth and Planetary Science Letters, No. 245, 673-684. <https://doi.org/10.1016/j.epsl.2006.03.027>
- Fattahi, M., Walker, R. T., Khatib, M.M., Dolati, A., Bahroudi, A., (2007); Slip-rate estimate and past earthquakes on the Doruneh fault, eastern Iran. Geophysical Journal International, No. 168(2), pp. 691–709. <https://doi.org/10.1111/j.1365-246X.2006.03248.x>
- Fattahi, M., Walker, R. T., Talebian, M., Sloan, R. A., Rasheedi, A., (2011); The structure and late Quaternary slip rate of the Rafsanjan strike-slip fault, SE Iran. GEOSPHERE, No. 7(5), pp. 1159–1174. <https://doi.org/10.1130/GES00651.1>
- Foroutan, M., Nazari, H., Meyer, B., Sebrier, M., Fattahi, M., Dortz, K., (2012); Late pleistocene-holocene right-slip rate of the Dehshir Fault, Central Iran Plateau. GEOSCIENCES, No. 21 (82), pp. 195-206. [10.22071/GS.2011.54458](https://doi.org/10.22071/GS.2011.54458)
- Friedrich, J., Kreutzer, S., Schmidt, Ch., (2016); Solving ordinary differential equations to understand luminescence: ‘RLumModel’, an advanced research tool for simulating luminescence in quartz using R. Quaternary Geochronology, No. 35, pp. 88-100. <https://doi.org/10.1016/j.quageo.2016.05.004>
- Ghassemi, M. R., Fattahi, M., Landgraf, A., Ahmadi, M., Ballato, P., & Tabatabaei, S. H., (2014); Kinematic links between the Eastern Moshav Fault and the North Tehran Fault, Alborz range, northern Iran. Tectonophysics, 622, 81-95. <https://doi.org/10.1016/j.tecto.2014.03.007>
- Gomez F., Karam, G., Khawlie M., McClusky, S., Vernant, Ph., Reilinger, R., Jaafar, R., Tabet, C., Khair, K., Barazangi, M., (2007); Global Positioning System measurements of strain accumulation and slip transfer through the restraining bend along the Dead Sea fault system in Lebanon. Geophysical Journal International, No. 168(3), pp. 1021–1028. <https://doi.org/10.1111/j.1365-246X.2006.03328.x>

- Keller, E. A., Pinter, N., (1996); Active Tectonics: Earthquakes, Uplift, and Landscape. Prentice Hall, 359 pp.
- Kreutzer, S., Martin, L., Guerin, G., Tribolo, C., Selva, P., Mercier, N., (2018); Environmental Dose Rate Determination Using a Passive Dosimeter: Techniques and Workflow for alpha-Al<sub>2</sub>O<sub>3</sub>:C Chips. Geochronometria, No. 45, pp. 56-67. <https://doi.org/10.1515/geochr-2015-0086>
- Kreutzer, S., Schmidt, C., Fuchs, M. C., Dietze, M., Fischer, M., Fuchs, M., (2012); Introducing an R package for luminescence dating analysis. Ancient TL, No. 30 (1), 1-8.
- Le Dortz, K., Meyer, B., Sebrier, M., Nazari, H., Braucher, R., Fattahi, M., Benedetti, L., Foroutan, M., Siame, L., Bourles, D., Talebian, M., Bateman, M.D., and Ghoraishi, M., (2009); Holocene right-slip rate determined by cosmogenic and OSL dating on the Anar fault, central Iran. Geophysical Journal International, v. 179, pp. 700–710. [10.1111/j.1365-246X.2009.04309.x](https://doi.org/10.1111/j.1365-246X.2009.04309.x)
- Liritzis, I., Singhvi, A. K., Feathers, J. K., Wagner, G. A., Kadereit, A., Zacharias, N., & Li, S. H. (2013). Luminescence dating of archaeological materials. In Luminescence Dating in Archaeology, Anthropology, and Geoarchaeology (pp. 25-40). Springer, Heidelberg. [10.1007/978-3-319-00170-8-6](https://doi.org/10.1007/978-3-319-00170-8-6)
- Murray, A. S. and Wintle, A. G., 2000, Luminescence dating of quartz using an improved single-aliquot regenerative-dose protocol. Radiation Measurement, 32, 57-73. [https://doi.org/10.1016/S1350-4487\(99\)00253-X](https://doi.org/10.1016/S1350-4487(99)00253-X)
- Nazari, H., Fattahi, M., Meyer, B., Sébrier, M., Talebian, M., Foroutan, M., Le Dortz, K., Bateman, M.D., Ghorashi, M., (2009); First evidence for large earthquakes on the Deshir Fault, Central Iran Plateau. Terra Nova, 21(6), 417-426. <https://doi.org/10.1111/j.1365-3121.2009.00892.x>
- Peppe, D. J., Deino, A. L., (2013); Dating Rocks and Fossils Using Geologic Methods. Nature Education Knowledge, No. 4(10):1.
- Talebian, M., Copley, A.C., Fattahi, M., Ghorashi, M., Jackson, J.A., Nazari, H., Sloan, R.A., Walker, R.T., (2016); Active faulting within a megacity: the geometry and slip rate of the Pardisan thrust in central Tehran, Iran. Geophysical Journal International, Volume 207(3), 1688–1699. <https://doi.org/10.1093/gji/ggw347>
- Vernant, P., Nilforoushan, F., Hatzfeld, D., Abbassi, M., Vigny, C., Masson, F., Nankali, H., Martinod, J., Ashtiani, A., Bayer, R., (2004); Present-day crustal deformation and plate kinematics in the Middle East constrained by GPS measurements in Iran and northern Oman. Geophysical Journal International, No. 157, 381-398 . <https://doi.org/10.1111/j.1365-246X.2004.02222.x>
- Walker R.T., (2006); A remote sensing study of active folding and faulting in southern Kerman province, S.E. Iran. Journal of Structural Geology, No. 28(4), 654–668. <https://doi.org/10.1016/j.jsg.2005.12.014>
- Walker, R. T., Khatib, M. M., Bahroudi, A., Rodés, A., Schnabel, C., Fattahi, M., ... & Bergman, E., (2015); Co-seismic, geomorphic, and geologic fold growth associated with the 1978 Tabas-e-Golshan earthquake fault in eastern Iran. Geomorphology, 237, 98-118. <https://doi.org/10.1016/j.geomorph.2013.02.016>.